

04

## Запертые и свободные электроны в прианодной области стратифицированного разряда

© Ю.Б. Голубовский, В.С. Некучаев, Н.С. Пономарев

Санкт-Петербургский государственный университет Научно-исследовательский институт физики, 198904 Санкт-Петербург, Россия

(Поступило в Редакцию 19 сентября 1996 г.)

В прианодной области стратифицированного тлеющего разряда в неоне измерены пространственные профили потенциала и функции распределения электронов по энергиям. Обнаружено, что в некоторые моменты времени на пространственных профилях потенциала появляются потенциальные ямы небольшой глубины, примыкающие к аноду. Функции распределения, измеренные в потенциальных ямах, отличаются резко выраженным максимумом медленных электронов от функций распределения в тех фазах страт, где ямы отсутствуют. Проанализирован механизм формирования ФРЭ для запертых в потенциальной яме электронов. Экспериментально обнаружено и интерпретировано возмущающее действие анода на ФРЭ по мере приближения к аноду.

Формирование функции распределения электронов (ФРЭ) в положительном столбе стратифицированного разряда в инертных газах при низких давлениях (меньших нескольких Торг) и малых токах (меньших десятков миллиампер) исследовалось в ряде теоретических и экспериментальных работ [1–7]. Сопоставление результатов экспериментов и расчетов ФРЭ на основе нелокальной кинетики электронов [2] в пространственно-периодических потенциальных полях позволило выявить основные причины формирования ФРЭ в *S*- и *P*-стратах [6,7]. В рассмотренных разрядных условиях падение потенциала на длине страты определяется потерями энергии электронов в упругих и неупругих ударах. Имеет место эффект бунчировки электронов [2], в результате чего на функции распределения появляется специфический максимум, который перемещается по энергии и координате. Для *S*-страт этот максимум связан с одной резонансной траекторией, к которой стягиваются электроны за счет бунчировки. Набор энергии электронами на этой резонансной траектории на одном периоде превышает порог возбуждения  $\varepsilon_1$  на величину средних упругих потерь  $\Delta\varepsilon$ , падение потенциала на *S*-страте оказывается равным величине  $\varepsilon_s = \varepsilon_1 + \Delta\varepsilon$ , а длина *S*-страты равняется  $L_s = \varepsilon_s / eE_0$ , где  $E_0$  — среднее значение поля. В случае *P*-страты, как показывают эксперименты, падение потенциала на страте  $\varepsilon_p$  и длина страты  $L_p$  оказываются в два раза меньше, чем для *S*-страты. Поскольку  $\varepsilon_p$  заметно меньше, чем  $\varepsilon_1$ , электроны должны пройти два пространственных периода, чтобы набрать энергию, необходимую для возбуждения. Этому случаю соответствуют две резонансные траектории и соответственно два максимума на функции распределения, расстояние между которыми равно падению потенциала на *P*-страте. С этой точки зрения были интерпретированы результаты экспериментов по измерению ФРЭ в *S*- и *P*-стратах в положительном столбе разряда в неоне [6,7].

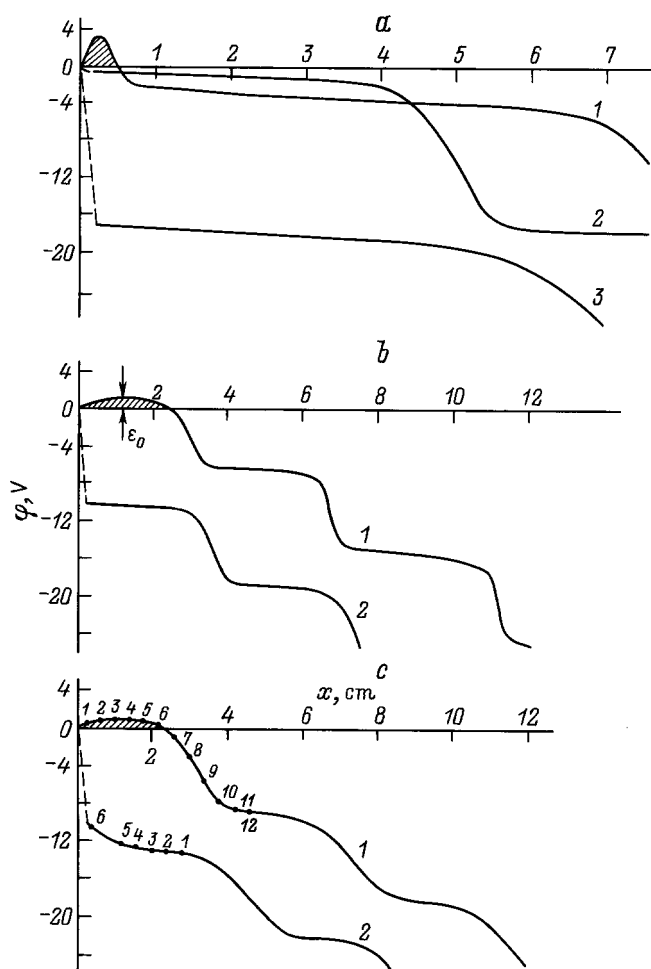
Задачей настоящей работы является исследование механизмов формирования ФРЭ в *S*- и *P*-стратах в прианодной области квазинейтральной плазмы стратифициро-

ванного разряда в неоне. Были выполнены эксперименты по измерению пространственных профилей потенциалов и функций распределения для *S*- и *P*-страт вблизи анода и в невозмущенном положительном столбе. На основе кинетического уравнения проанализирован вид ФРЭ при наличии и отсутствии потенциальных ям на пространственном профиле потенциала.

### Измерения ФРЭ при наличии потенциальных ям вблизи анода

Эксперименты выполнялись в разряде в неоне при давлениях  $p = 1\text{--}2$  Торг и токах  $i = 10\text{--}20$  мА. Трубка радиусом  $R = 1.4$  см имела плоский анод, заполняющий все сечение разряда, и подвижный зонд, позволяющий выполнять измерения ФРЭ и потенциала плазмы на разных расстояниях от анода с шагом 2 мм на оси разряда. При каждом фиксированном положении зонда ФРЭ измерялись с временным разрешением  $10\ \mu\text{s}$  в 12 фазах страты. Методика корректных измерений пространственных распределений потенциала при наличии колебаний плазмы описана в работе [7].

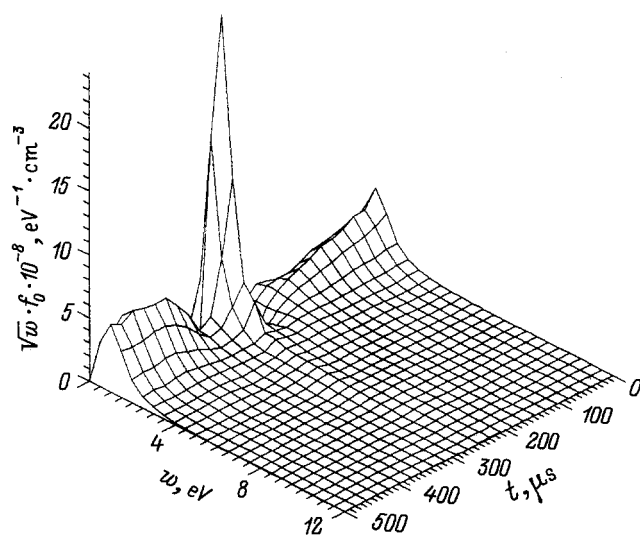
Результаты измерений пространственных профилей потенциала для *S*- и *P*-страт в прианодной области в различные моменты времени приведены на рис. 1, *a–c*. Рис. 1, *a* соответствует *S*-стратам, которые при малых токах наблюдаются при давлениях  $pR > 25$  Торг·см, рис. 1, *b* — *P*-стратам с большой глубиной модуляции электрического поля, рис. 1, *c* — *P*-стратам вблизи нижней границы существования страт по току и почти синусоидальной модуляции электрического поля. Из рис. 1 видно, что аксиальное распределение потенциала можно представить в виде суперпозиции волны потенциала, колебаний потенциала плазмы как целого, линейно спадающего потенциала по направлению к катоду и анодного падения, примыкающего к аноду. При этом величина и знак анодного падения изменяются во времени таким образом, что в некоторые моменты времени потенциал плазмы вблизи анода становится положительным и



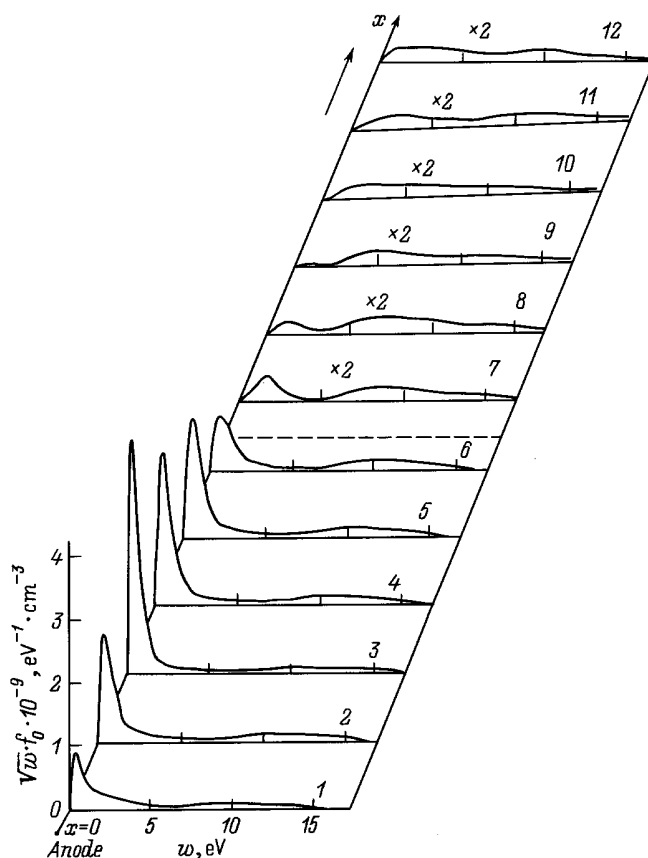
**Рис. 1.** Пространственные профили потенциала в *S*-стратах (*a*) и *P*-стратах (*b, c*), измеренные в различные моменты времени,  $\mu s$ : 1 — 270, 2 — 95, 3 — 370. Штриховые линии соединяют нулевой потенциал заземленного анода с потенциалом плазмы, измеренном на расстоянии  $\sim 2$  мм. В этой области должны развиваться анодные колебания.  $pR$ , Тогг: *a* — 2.7, *b* — 2.24, *c* — 1;  $i/R$ , mA/cm: *a* — 13, *b* — 10, *c* — 14;  $a$  —  $I_s = 7$  см,  $\epsilon_s = 18$  eV; *b* —  $L_p = 4.5$  см,  $\epsilon_p = 10$ ; *c* —  $L_p = 4.2$  см,  $\epsilon_p = 9.1$  eV.

образуется потенциальная яма, запирающая электроны (заштрихованные области на рис. 1). Функции распределения, измеренные в потенциальных ямах, резко отличаются от ФРЭ, измеренных вне потенциальных ям, наличием ярко выраженного пика медленных электронов с энергиями  $\sim 0.2$ – $0.5$  eV. На рис. 2 приведены ФРЭ, измеренные для *S*-страты на расстоянии 2 мм от анода (примерно центр потенциальной ямы) в различные моменты времени по периоду страты. В интервале  $\sim 30 \mu s$  (260–290  $\mu s$ ) наблюдается резкий пик медленных электронов. Кривая 1 на рис. 1, *a* с потенциальной ямой соответствует моменту времени 270  $\mu s$  на оси времени рис. 2. Как видно из рисунка, пик медленных электронов приходится на те фазы страты, в которых наблюдаются потенциальные ямы.

Аналогичная картина наблюдается при измерениях ФРЭ в *P*-стратах при наличии потенциальных ям. На рис. 3 приведены ФРЭ, измеренные в *P*-стратах. Отчетливо видно, что в пределах потенциальной ямы ФРЭ стя-



**Рис. 2.** ФРЭ, измеренные для *S*-страты на расстоянии 2 мм от анода в различные моменты времени.



**Рис. 3.** ФРЭ, измеренные для *P*-страты в момент времени, соответствующий кривой 1 на рис. 1, *c* на разных расстояниях от анода в 12 точках, отмеченных на этой кривой. Штриховой чертой показана граница потенциальной ямы.

нута в область малых энергий  $\leq 1$  eV, по мере удаления от анода амплитуда пика медленных электронов растет, достигает максимума в середине потенциальной ямы и затем спадает. При прохождении через границу ямы вид ФРЭ резко изменяется, ее амплитуда заметно падает, пик медленных электронов исчезает и ФРЭ приобретает вид характерный для  $P$ -страты в столбе. Таким образом, наиболее интересный эффект состоит в появлении ярко выраженной группы медленных электронов на функции распределения с энергиями, меньшими, чем глубина потенциальной ямы на пространственном профиле потенциала. Эти электроны вносят преобладающий вклад в полную концентрацию.

Появление медленных электронов на функции распределения наблюдалось в работе [8] при отрицательных анодных падениях в нестратифицированном разряде в неоне при заметно меньших давлениях ( $pR = 0.1-0.05$  Торр · см).

### Кинетика запертых электронов

Вопросы формирования функции распределения при наличии запертых электронов в потенциальных ямах анализировались в работах [9,10]. Интерпретация наблюдаемого в настоящей работе эффекта может быть проведена на основе одномерного кинетического уравнения, которое удобно записать в переменных: полная энергия  $\varepsilon = w + e\varphi(x)$  и координата  $x$  ( $w$  — кинетическая энергия,  $e\varphi(x)$  — потенциальная энергия).

Полагая, что время формирования ФРЭ заметно меньше периода страт, можно использовать квазистационарное приближение и записать кинетическое уравнение в виде

$$\frac{\partial}{\partial x} \frac{2w^{3/2}}{3m\nu} \frac{\partial f_0}{\partial x} + \frac{\partial}{\partial \varepsilon} \left[ 2 \frac{m}{M} \nu w^{3/2} \left( f_0 + T_a \frac{\partial f_0}{\partial \varepsilon} \right) \right] + \frac{\partial}{\partial \varepsilon} \left[ 2\nu_e w^{3/2} \left( A_1 f_0 + A_2 \frac{\partial f_0}{\partial \varepsilon} \right) \right] = S^*, \quad (1)$$

$f_0(\varepsilon, x)$  — изотропная часть функции распределения,  $\nu(\nu_e)$  — транспортная частота упругих ударов,

$$\nu_e = \frac{4\pi \cdot e^4 n}{m^2 \nu^3} \ln \Lambda$$

— частота межэлектронных столкновений,  $\ln \Lambda$  — кулоновский логарифм,  $T_a$  — температура максвелловского распределения нейтральных атомов,  $m$  и  $M$  — массы электрона и атома

$$A_1 = \frac{1}{n} \int_0^\varepsilon f_0(\varepsilon) \sqrt{\varepsilon} d\varepsilon,$$

$$A_2 = \frac{2}{3n} \left[ \int_0^\varepsilon \varepsilon^{3/2} f_0(\varepsilon) d\varepsilon + \varepsilon^{3/2} \int_\varepsilon^\infty f_0(\varepsilon) d\varepsilon \right]. \quad (2)$$

Первый член в (1) описывает диффузию по координате  $x$  в фазовой плоскости  $\varepsilon, x$  (нагрев в электрическом поле), второй член описывает потери энергии в упругих ударах, а также нагрев при столкновениях с атомами, третий член описывает обмен энергией в межэлектронных столкновениях. В правой части стоит оператор неупругих столкновений, который можно приближенно представить в виде

$$S^* = \sqrt{w} \nu^*(w) f_0(\varepsilon, x) - \sqrt{w'} \nu^*(w') f_0(\varepsilon', x), \quad (3)$$

где  $\nu'(w)$  — суммарная транспортная частота неупругих ударов с порогом возбуждения  $\varepsilon_1$ .

При этом  $\varepsilon' = \varepsilon + \varepsilon_1$  и  $w' = w + \varepsilon_1$ . Как показано в работе [9], при наличии потенциальной ямы электроны можно разделить на две слабо связанные группы: запертые в яме электроны ( $\varepsilon < \varepsilon_0$ ) и свободные ( $\varepsilon > \varepsilon_0$ ), где  $\varepsilon_0$  — глубина ямы. В случае когда длина энергетической релаксации по отношению к упругим и межэлектронным ударам заметно превышает размер ямы, можно считать, что электроны движутся в пределах ямы с сохранением полной энергии. При этом функция распределения в яме не зависит явным образом от координаты и является функцией полной энергии  $f_0^i(\varepsilon)$ . В этом случае для запертых электронов можно выполнить усреднение кинетического уравнения (1) по координате и записать в виде

$$\frac{\partial}{\partial \varepsilon} \left[ \bar{V}_\varepsilon f_0^i(\varepsilon) + \bar{D}_\varepsilon \frac{\partial f_0^i(\varepsilon)}{\partial \varepsilon} \right] = q(\varepsilon), \quad (4)$$

где

$$\bar{V}_\varepsilon = \frac{1}{L} \int_{x^-(\varepsilon)}^{x^+(\varepsilon)} 2w^{3/2} \left( \frac{m}{M} \nu + A_1 \right) dx,$$

$$\bar{D}_\varepsilon = \frac{1}{L} \int_{x^-(\varepsilon)}^{x^+(\varepsilon)} 2w^{3/2} \left( A_2 \nu_e + \frac{m}{M} \nu T_a \right) dx,$$

$L$  — размер ямы,  $x^+(\varepsilon)$  и  $x^-(\varepsilon)$  — точки поворота для электронов с энергией  $\varepsilon$ .

Если яма близка к прямоугольной, то процедура усреднения упрощается путем замены кинетической энергии на полную. Если профиль ямы отличен от прямоугольной, то результат усреднения отличается численным множителем (например, для параболического профиля этот множитель  $\sim 1.5$ ). Источники электронов в яме  $q(\varepsilon)$  связаны с появлением медленных электронов в результате неупругих ударов свободных электронов с энергиями, превышающими порог возбуждения (второй член в правой части (3)). Полагая, что ФРЭ за порогом возбуждения известна  $f_0^i(\varepsilon)$ , можно записать выражение для  $q(\varepsilon)$  в виде

$$q(\varepsilon) = \frac{1}{L} \int_{x^-(\varepsilon)}^{x^+(\varepsilon)} \sqrt{w + \varepsilon_1} \cdot \nu^*(w + \varepsilon_1) f_0^i(\varepsilon + \varepsilon_1) dx. \quad (5)$$

Уравнение (4) имеет физический смысл уравнения неразрывности для потока, который складывается из диффузии с коэффициентом  $\bar{D}_\varepsilon$  и сноса со скоростью  $\bar{V}_\varepsilon$ , при наличии источника  $q(\varepsilon)$ . Как показывают данные экспериментов (рис. 3), характерная энергия запертых электронов ( $\sim 0.2$  eV) заметно меньше глубины ямы ( $\sim 1$  eV), что позволяет построить ФРЭ запертых электронов с нулевым граничным условием на  $\varepsilon = \varepsilon_0$ . Решение уравнения (4) в этом приближении имеет вид

$$f_0^t(\varepsilon) = \int_\varepsilon^{\varepsilon_0} \frac{Q(\varepsilon')}{\bar{D}_{\varepsilon'}} \exp\left\{ \int_\varepsilon^{\varepsilon'} \frac{\bar{V}_{\varepsilon''}}{\bar{D}_{\varepsilon''}} d\varepsilon'' \right\} d\varepsilon', \quad (6)$$

где

$$Q(\varepsilon') = \int_0^{\varepsilon'} q(\varepsilon) d\varepsilon.$$

Из уравнения (6) легко виден предельный переход к максвелловской функции распределения для электронов с энергиями  $\varepsilon < \varepsilon_0$ . В случае, когда межэлектронные столкновения преобладают ( $\nu_e \gg (m/M)\nu$ ) отношение  $\bar{D}_{\varepsilon''}/\bar{V}_{\varepsilon''}$  равно  $T_e$  и для  $f_0^t(\varepsilon)$  получаем

$$f_0^t(\varepsilon) \approx \frac{Q(\varepsilon_0)}{\bar{D}_{\varepsilon_0}} T_e \left( e^{\frac{\varepsilon_0 - \varepsilon}{T_e}} - 1 \right) \approx \text{const } e^{-\frac{\varepsilon}{T_e}}. \quad (7)$$

Если межэлектронные столкновения не играют определяющей роли, то функция распределения будет определяться температурой атомов  $T_a$ .

Для определения средней энергии (температуры) функции распределения (6) необходимо рассмотреть баланс энергии запертых электронов, который может быть получен путем умножения уравнения (1)–(3) на энергию и интегрирования по энергиям в интервале  $0 - \varepsilon_0$  и по координате в пределах ямы. Для запертых электронов как поток частиц, так и поток энергии по координате за пределы ямы равен нулю, что позволяет отбросить первый член уравнения (1) в балансе энергии.

Интегрирование второго члена уравнения (1) описывает обмен энергией запертых электронов при упругих ударах с атомами

$$\begin{aligned} H_a &= \frac{1}{L} \int_0^{\varepsilon_0} d\varepsilon \int_{x^-(\varepsilon)}^{x^+(\varepsilon)} w \frac{\partial}{\partial \varepsilon} 2 \frac{m}{M} \varepsilon^{3/2} \nu \left( f_0^t(\varepsilon) + T_a \frac{\partial f_0^t(\varepsilon)}{\partial \varepsilon} \right) dx \\ &\approx 2 \frac{m}{M} \nu T_a \varepsilon^{5/2} \frac{\partial f_0^t(\varepsilon)}{\partial \varepsilon} \Big|_{\varepsilon=\varepsilon_0} - 2 \frac{m}{M} n^t \left( 1 - \frac{T_a}{T_e} \right) \langle \nu w \rangle \\ &= -H_a^d - H_a^V, \end{aligned} \quad (8)$$

где  $n^t$  — концентрация запертых электронов; первое слагаемое  $H_a^d$  правой части (8) описывает поток энергии электронов за пределы ямы за счет столкновений с атомами, имеющими отличную от нуля температуру (диффузионное остывание); второе слагаемое  $H_a^V$  описывает энергообмен с атомами в объеме ямы.

Особый интерес представляет обмен энергией запертых и свободных электронов за счет межэлектронных столкновений (третий член уравнения (1))

$$\begin{aligned} H_e &= \frac{1}{L} \int_0^{\varepsilon_0} d\varepsilon \int_{x^-(\varepsilon)}^{x^+(\varepsilon)} w \frac{\partial}{\partial \varepsilon} 2 w^{3/2} \nu_e \left( A_1 f_0 + A_2 \frac{\partial f_0}{\partial \varepsilon} \right) dx \\ &\approx 2 \nu_e A_2(\varepsilon_0) \varepsilon_0^{5/2} \frac{\partial f_0}{\partial \varepsilon} \Big|_{\varepsilon=\varepsilon_0} - 2 \int_0^{\varepsilon_0} w^{3/2} \nu_e \\ &\quad \times \left[ A_1 - \frac{\partial A_2}{\partial \varepsilon} \right] f_0 d\varepsilon = -H_e^d - H_e^*. \end{aligned} \quad (9)$$

Первый член  $H_e^d$  правой части (9) описывает диффузионное охлаждение запертых электронов за счет межэлектронных столкновений в яме. Величина  $A_2(\varepsilon_0)$ , как видно из (2), для запертых электронов составляет значение  $\sim (2/3)\langle \varepsilon \rangle \sim T_e$ . Второй член  $H_e^*$  в (9) после подстановки  $A_1$ , и  $(\partial A_2)/(\partial \varepsilon)$  из (2) можно записать в виде

$$\begin{aligned} H_e^* &= -2 \frac{\nu_e \varepsilon^{3/2}}{n} \left\{ \int_0^{\varepsilon_0} f_0(\varepsilon) d\varepsilon \int_0^\varepsilon f_0(\varepsilon') \sqrt{\varepsilon'} d\varepsilon' \right. \\ &\quad \left. - \int_0^{\varepsilon_0} f_0(\varepsilon) \sqrt{\varepsilon} d\varepsilon \int_\varepsilon^\infty f_0(\varepsilon') d\varepsilon' \right\}. \end{aligned}$$

Второй член в фигурных скобках можно преобразовать, разбивая пределы интегрирования внутреннего интеграла на  $\varepsilon - \varepsilon_0$  и  $\varepsilon_0 - \infty$ . Заменяя порядок интегрирования в первом из получившихся двух слагаемых, можно убедиться, что это слагаемое сокращается с первым членом в фигурных скобках. Физически это означает, что внутри ямы обмен энергией электронов приводит к компенсации охлаждения и нагрева. Окончательно для  $H_e^*$  получаем

$$H_e^* = 2 \nu_e \varepsilon^{3/2} \frac{1}{n} \int_0^{\varepsilon_0} f_0(\varepsilon) \sqrt{\varepsilon} d\varepsilon \int_{\varepsilon_0}^\infty f_0(\varepsilon) d\varepsilon. \quad (10)$$

Этот член описывает передачу энергии от свободных электронов ( $\varepsilon > \varepsilon_0$ ) к запертым ( $\varepsilon < \varepsilon_0$ ). Первый интеграл в выражении (10) дает концентрацию запертых электронов  $n^t$ . Второй интеграл в (10) по порядку величины можно оценить как  $n^i/\sqrt{\varepsilon^i}$ , где  $n^i$  — концентрация свободных электронов,  $\varepsilon^i$  — средняя энергия свободных электронов. Таким образом, нагрев запертых электронов за счет охлаждения свободных в межэлектронных столкновениях оказывается равным

$$H_e^* \cong 2 \nu_e (\varepsilon^i) \varepsilon^i \frac{n^t n^i}{n}. \quad (11)$$

Аналогичное выражение приведено в работе [9] для случая  $n^i \approx n$ .

К нагреву запертых электронов могут приводить неупругие удары свободных электронов с энергией  $\varepsilon > \varepsilon_1$  за счет появления медленных электронов с энергией  $\varepsilon - \varepsilon_1$ . Величину этого нагрева можно получить, усредняя по яме второй член оператора неупругих столкновений (3), умноженный на энергию,

$$H_a^* = \frac{1}{L} \int_0^{\varepsilon_0} d\varepsilon \int_{x^-(\varepsilon)}^{x^+(\varepsilon)} w \sqrt{w + \varepsilon_1} \cdot \nu^*(w + \varepsilon_1) f_0^i(\varepsilon + \varepsilon_1) dx$$

$$\approx \frac{1}{3} \nu_0^* \varepsilon_1^{5/2} \left( \frac{\varepsilon_0}{\varepsilon_1} \right)^3 f_0^i(\varepsilon_1). \quad (12)$$

При вычислении (12) использовалась аппроксимация частоты неупругих ударов в виде

$$\nu^* = \nu_0^* \left( \frac{w}{\varepsilon_1} - 1 \right).$$

В рамках рассматриваемой модели средняя энергия (температура  $T_e$ ) запертых электронов может быть вычислена из баланса энергии в виде

$$H_a^* + H_e^* - H_a^d - H_e^d - H_a^V = 0. \quad (13)$$

Диффузионное охлаждение в уравнении баланса (13)  $H_a^d + H_e^d$  в формулах (8) и (9) можно привести к виду, близкому к (12). Действительно, из (6) можно получить

$$\left. \frac{\partial f_0^i}{\partial \varepsilon} \right|_{\varepsilon = \varepsilon_0} = - \frac{Q(\varepsilon_0)}{D_{\varepsilon_0}}.$$

Подставляя это значение производной в выражение для  $H_a^d + H_e^d$ , получаем

$$H_a^d + H_e^d = \varepsilon_0 \int_0^{\varepsilon_0} q(\varepsilon) d\varepsilon = \frac{1}{2} \nu_0^* \varepsilon_1^{5/2} \left( \frac{\varepsilon_0}{\varepsilon_1} \right)^3 f_0^i(\varepsilon_1).$$

Окончательно уравнение, из которого должна быть найдена средняя энергия (температура  $T_e$ ), имеет вид

$$2\nu_e(\varepsilon^i) \varepsilon^i \frac{n^i n^i}{n} - \frac{1}{6} \nu_0^* \varepsilon_1^{5/2} \left( \frac{\varepsilon_0}{\varepsilon_1} \right)^3 f_0^i(\varepsilon_1) - 3 \frac{m}{M} \left( 1 - \frac{T_a}{T_e} \right) \nu(T_e) T_e n^i = 0. \quad (14)$$

Для вычисления  $T_a$  по (14) необходимо знать концентрацию запертых  $n^i$  и свободных  $n^i$  электронов,  $\varepsilon^i$  и  $f_0^i(\varepsilon_1)$  для электронов вне потенциальной ямы. Для конкретных расчетов были использованы полученные из экспериментальных измерений значения  $\varepsilon^i \approx 4 \text{ eV}$ ,  $n \approx 3 \cdot 10^9 \text{ cm}^{-3}$ ,  $n^i \approx 2 \cdot 10^9 \text{ cm}^{-3}$ ,  $n^i \approx 10^9 \text{ cm}^{-3}$ ,  $\nu_e(\varepsilon^i) \approx 13 \cdot 10^4 \text{ s}^{-1}$ ,  $\nu_0^* \approx 2 \cdot 10^8 \text{ s}^{-1}$ ,  $\nu(T_e) = 2.2 \cdot 10^9 \sqrt{T_e/\varepsilon_1}$ ,  $\varepsilon_0 \approx 1 \text{ eV}$ ,  $\varepsilon_1 = 16.6 \text{ eV}$ ,  $T_e \approx 0.026 \text{ eV}$ . Решение уравнения (14) оказывается критичным к значению ФРЭ на пороге возбуждения

$f_0^i(\varepsilon_1)$ . Это значение можно получить, сшивая по наклону функцию распределения в точке  $\varepsilon_1$  из упругой и неупругой областей [11]. При этом получаем

$$f_0^i(\varepsilon_1) \approx \frac{9}{4} \frac{n^i}{\varepsilon_1^{3/2}} \left( \frac{4}{3} \right)^{1/3} \left( \frac{T_1}{\varepsilon_1} \right)^{2/3} \frac{z^{1/3} K_{1/3}(z)}{\Gamma(2/3)} \Big|_{z=0}$$

$$\approx \frac{9}{4} \frac{n^i}{\varepsilon_1^{3/2}} \left( \frac{T^*}{\varepsilon_1} \right) \frac{2^{2/3} \Gamma(1/3)}{3 \Gamma(2/3)}$$

$$\approx 4.6 \cdot 10^6 \text{ eV}^{-3/2} \text{ cm}^{-3}, \quad (15)$$

где

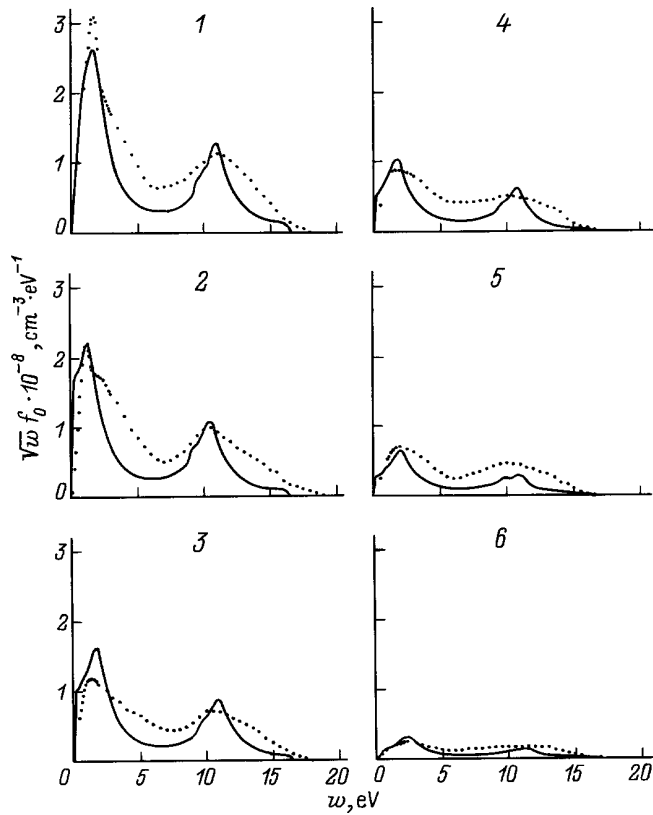
$$T_1 = \frac{1}{\sqrt{3}} \sqrt{\frac{\nu_0}{\nu_0^*}} \cdot eE_0 \lambda; \quad T^* = \left( \frac{3}{2} \right)^{2/3} \left( \frac{T_1}{\varepsilon_1} \right)^{2/3}.$$

Это значение  $f_0^i(\varepsilon_1)$  удовлетворительно коррелирует с данными эксперимента. Расчеты по формуле (14) дают значение  $T_e \approx 0.25 \text{ eV}$ , что хорошо совпадает с положением пика медленных электронов на экспериментальной кривой (рис. 3).

Интересно отметить, что в балансе энергии (14) диффузионное охлаждение заметно превосходит охлаждение за счет упругих ударов и в основном компенсирует нагрев за счет межэлектронных столкновений. В рамках рассматриваемой модели формирования ФРЭ запертых электронов (условие "черной стенки" при  $\varepsilon = \varepsilon_0$ ) поток частиц, попадающих в яму за счет неупругих ударов, равен потоку частиц, выходящих из ямы главным образом за счет межэлектронных ударов (испарения). В балансе энергии соответствующие потоки не компенсируют друг друга, поскольку испаряются электроны, имеющие энергию  $\varepsilon_0$ , а попадают в яму электроны, имеющие спектр в интервале  $0 - \varepsilon_0$ .

## Влияние стока электронов на анод на ФРЭ в стратах

Как показывают результаты экспериментов, в определенных моменты времени реализуются пространственные профили потенциала без потенциальных ям и обратных полей. Представляет определенный интерес выяснить причины отличий функций распределения электронов в стратах вблизи анода от этих функций в стратах в положительном столбе. На рис. 4 приведены ФРЭ, измеренные на расстоянии от 0 до 3 см от анода для потенциальной кривой 2 на рис. 1, с. Из рисунка видно, что в прианодной области по мере приближения к аноду наблюдается спад ФРЭ по амплитуде, причем сначала наблюдается уменьшение числа медленных электронов, а затем обеднение ФРЭ затрагивает все более быстрые электроны. На расстоянии  $\sim 2 \text{ mm}$  от анода концентрация электронов уменьшается более чем на порядок. Функции распределения, измеренные в стратифицированном положительном столбе вдали от анода, подобного



**Рис. 4.** ФРЭ, измеренные (точки) и рассчитанные (сплошные кривые) на различных расстояниях от анода в *P*-стратах. 1–6 соответствуют точкам 1–6 на потенциальной кривой 2 на рис. 1, с.

спада амплитуды ФРЭ не обнаруживают и хорошо воспроизводятся от страты к страте при удалении от анода.

Интерпретация результатов экспериментов может быть дана на основе представлений нелокальной кинетики электронов. Расчеты ФРЭ для нестратифицированного разряда в неоне в прианодной области были выполнены в работе [12]. Наличие анода, которое учитывается в теории введением нулевого граничного условия на аноде [13], приводит к искажению ФРЭ на расстоянии порядка длины энергетической релаксации. Как показывает проведенный анализ [12,13], сначала происходит сток медленных электронов, по мере приближения к аноду область стока захватывает все более быстрые электроны.

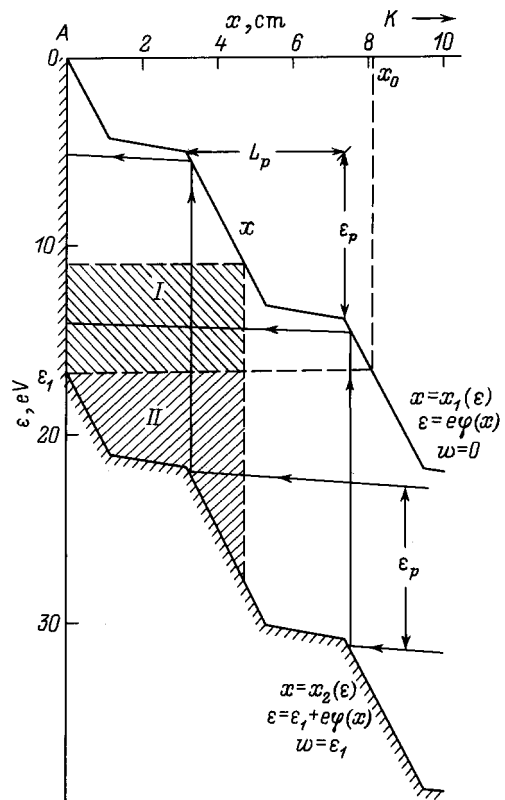
На основе аналогичных соображений можно построить теорию для прианодной области стратифицированного разряда. На рис. 5 представлена плоскость переменных  $\varepsilon, x$ , на которой показана аппроксимация измеренного профиля потенциала для *P*-страты (кривая 2 на рис. 1, с). Точка  $x_0 = x_1(\varepsilon_1)$  на этом рисунке разделяет область невозмущенного анодом положительного столба ( $x > x_0$ ) и прианодную область ( $x < x_0$ ), в которой сказывается возмущающее действие анода на функцию распределения. Действительно, ФРЭ в определенных приближениях (малые потери энергии на упругие удары, нулевое граничное условие на пороге возбуждения  $\varepsilon_1$ )

может быть представлена в виде [2]

$$f_0(\varepsilon, x) = \Phi(\varepsilon) \int_{x_2(\varepsilon)}^{x_1(\varepsilon)} \frac{\nu(\varepsilon, x')}{v^3(\varepsilon, x')} dx' = \Phi(\varepsilon) \cdot F_0(\varepsilon, x), \quad (16)$$

где  $\Phi(\varepsilon)$  — амплитуда функции распределения;  $F_0(\varepsilon, x)$  — ФРЭ, которая сформировалась бы в потенциальном поле  $\varphi(x)$  без потерь энергии на упругие удары.

Для энергий  $\varepsilon > \varepsilon_1$  кривая  $x_1(\varepsilon)$  есть кривая, на которой кинетическая энергия электронов равна порогу возбуждения  $\varepsilon_1$ . Для энергий  $0 < \varepsilon < \varepsilon_1$  нижний предел интегрирования в (16)  $x_1(\varepsilon) = 0$ , что соответствует нулевому граничному условию для ФРЭ на аноде. Для  $x > x_0$  вычисление интеграла  $F_0(\varepsilon, x)$  в (16) для энергий в пределах  $e\varphi(x) < \varepsilon < \varepsilon_1 + e\varphi(x)$  не зависит от наличия анода, поскольку нижний предел интегрирования  $x_2(\varepsilon)$  не достигает анода. ФРЭ соответствует невозмущенному анодом положительному столбу и периодична с пространственным периодом  $L_p$ . Подобные ФРЭ были рассчитаны в работе [7] для потенциальной кривой 2 на рис. 1, b. Для  $x < x_0$  нижний предел интегрирования в (16) равен нулю для энергий  $e\varphi(x) < \varepsilon < \varepsilon_1$  (область интегрирования I на рис. 5) и  $x_2(\varepsilon)$  для энергий  $\varepsilon_1 < \varepsilon < \varepsilon_1 + e\varphi(x)$  (область интегрирования II на рис. 5). Это позволяет рассчитать функцию  $F_0(\varepsilon, x)$  в (16) в прианодной области, при этом



**Рис. 5.** Плоскость переменных  $\varepsilon, x$ , в которой анализируется решение кинетического уравнения (16).

на аноде  $F_0(\varepsilon, x)|_{x=0} = 0$ . Амплитуда ФРЭ  $\Phi(\varepsilon)$  для  $P$ -страт была рассчитана в работе [7], причем в интервале энергий  $0-\varepsilon_1$  имеются два максимума, которые различены по энергиям на величину  $\varepsilon_p$  (падение потенциала на  $P$ -страте). Эти максимумы вызваны эффектом бунчировки за счет стягивания ФРЭ к двум резонансным траекториям при прохождении электронами определенного числа периодов в резонансном пространственно-периодическом потенциале. Можно предположить, что и на последнем пространственном периоде, примыкающем к аноду амплитуда  $\Phi(\varepsilon)$  будет той же самой, что и в столбе. В настоящей работе были выполнены расчеты ФРЭ для кривой 2 на рис. 1, с как в стратифицированном положительном столбе вдали от анода, так и в прианодной области. Результаты расчетов функции  $\sqrt{w}f_0(\varepsilon_1, x)$  в прианодной области в потенциальном поле (рис. 5) сопоставляются с данными эксперимента на разных расстояниях от анода на рис. 4. Из рисунка видно, что теория хорошо описывает наблюдаемый в эксперименте спад ФРЭ по мере приближения к аноду.

### Расчеты ФРЭ при наличии запертых и свободных электронов

На основе решения кинетического уравнения, усредненного по яме для запертых электронов в виде (6) и для свободных электронов в виде (16), можно построить ФРЭ во всей области энергий. Представление о том, что электроны разделяются на две слабо связанные группы, описываемые уравнениями (6) и (16), позволяет найти параметры этих двух групп:  $n^t$  и  $T_e$  для запертых,  $n^i$  и  $\varepsilon^i$  для свободных электронов. Вопрос о температуре и концентрации запертых электронов может быть решен на основе совместного решения уравнений баланса энергии и баланса частиц в потенциальной яме. Баланс энергии электронов обсуждался ранее [14]. Баланс частиц можно получить интегрируя кинетические уравнения (1)–(3) по энергии в интервале от 0 до  $\varepsilon_0$  и по координате в пределах ямы

$$\bar{D}_{\varepsilon_0} \frac{\partial f_0}{\partial \varepsilon_1} \Big|_{\varepsilon_0} = \frac{1}{L} \int_0^{\varepsilon_0} d\varepsilon \int_{x^-(\varepsilon)}^{x^+(\varepsilon)} w \sqrt{w + \varepsilon_1} \cdot \nu^*(w + \varepsilon_1) \times f_0(\varepsilon + \varepsilon_1) dx \approx \frac{1}{2} \nu_0^* \varepsilon_1^{3/2} \left( \frac{\varepsilon_0}{\varepsilon_1} \right)^2 f_0(\varepsilon_1), \quad (17)$$

где

$$\bar{D}_{\varepsilon_0} = \frac{2}{3n} \left[ \int_0^{\varepsilon_0} \varepsilon^{3/2} f_0(\varepsilon) d\varepsilon + \varepsilon_0^{3/2} \int_{\varepsilon_0}^{\infty} f_0(\varepsilon) d\varepsilon \right] \nu_e(\varepsilon_0) \varepsilon_0^{3/2} \approx \left( \frac{n^t}{n} T_e + \frac{2}{3} \frac{\varepsilon_0^{3/2} n^i}{\sqrt{\varepsilon^i} n} \right) \nu_e(\varepsilon_0) \varepsilon_0^{3/2}, \quad \frac{df_0}{d\varepsilon} \Big|_{\varepsilon_0} = \frac{2}{\sqrt{\pi}} n^t e^{-\frac{\varepsilon_0}{T_e}} \frac{1}{T_e^{5/2}}.$$

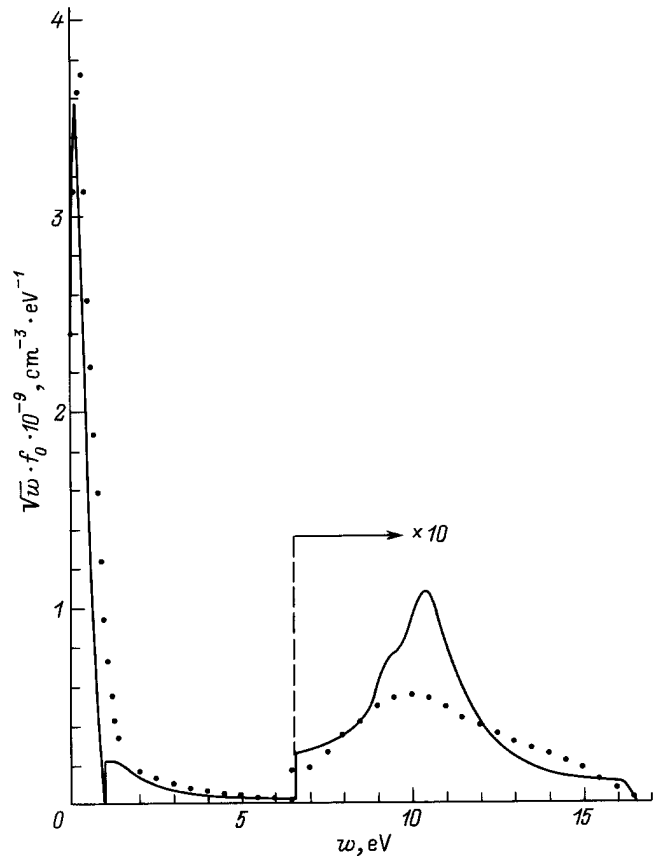


Рис. 6. Сопоставление результатов экспериментов (точки) и расчетов (сплошная кривая) для ФРЭ в  $P$ -стратах при наличии потенциальной ямы. ФРЭ в области энергий, превышающих 6.5 eV, для наглядности увеличена в 10 раз.

Система уравнений баланса частиц (17) и энергии (14) для определения параметров ФРЭ запертых  $n^t$  и  $T_e$  через параметры свободных электронов  $n^i, \varepsilon^i$  можно привести к удобному для расчетов виду

$$\frac{n^t}{n^t + n^i} \left( \frac{n^t T_e \sqrt{\varepsilon^i}}{n^i \varepsilon_0^{3/2}} + 1 \right) \frac{\varepsilon_0 \varepsilon_1^3}{T_e^{5/2} \sqrt{\varepsilon^i} T^*} \frac{\nu_e(\varepsilon_0)}{\nu_0^*} e^{-\frac{\varepsilon_0}{T_e}} = \frac{3 \cdot 2^{2/3} \sqrt{\pi}}{16} \cdot \frac{\Gamma(1/3)}{\Gamma(2/3)} = 1.044, \quad (18)$$

$$\frac{n^t}{n^t + n^i} \left( \frac{\varepsilon_1}{\varepsilon_0} \right)^3 \frac{\nu_e(\varepsilon^i)}{\nu_0^*} \frac{\varepsilon^i}{T^*} - \frac{3 n^t m}{2 n^i M} \left( 1 - \frac{T_a}{T_e} \right) \times \frac{\nu(T_e)}{\nu_0^*} \left( \frac{\varepsilon_1}{\varepsilon_0} \right)^3 \frac{T_e}{T^*} = \frac{2^{2/3} \Gamma(1/3)}{16 \Gamma(2/3)} = 0.196. \quad (19)$$

Полученные из решения системы уравнений (18), (19) параметры  $n^t/n^i = 26, T_e = 0.3$  eV удовлетворительно совпадают с данными эксперимента.

На рис. 6 проводится сопоставление функции распределения, рассчитанной по формуле (6) для запертых электронов и (16) для свободных электронов с данными эксперимента. Из рисунка видно, что обсуждаемая

в работе теоретическая модель качественно описывает формирование функции распределения электронов при наличии потенциальной ямы. Те предположения, которые были заложены в теоретическую модель (условие "черной стенки" для запертых электронов при  $\varepsilon = \varepsilon_0$ , наличие двух слабо связанных групп электронов), приводят к разрыву и излому ФРЭ при  $\varepsilon = \varepsilon_0$ . Поведение ФРЭ вблизи  $\varepsilon_0$  требует более строгого анализа кинетического уравнения в этой области энергий. Тем не менее рассматриваемая модель дает наглядное представление о физической картине формирования ФРЭ и соотношении концентраций и средних энергий запертых и свободных электронов.

## Заключение

В стратифицированном разряде низкого давления величина и знак анодного падения изменяются во времени и в определенные моменты времени могут реализовываться пространственные профили потенциала с потенциальными ямами глубиной  $\sim 1$  eV, примыкающими к аноду. В другие моменты времени пространственные профили потенциала не обнаруживают потенциальных ям. Измеренные функции распределения в яме резко отличаются от функций распределения вне ям наличием ярко выраженного пика медленных электронов с энергиями в десятые доли электрон-вольта. Функции распределения, измеренные в точках, соответствующих потенциальной яме на пространственном профиле потенциала, разделяются по энергиям на две слабо связанные группы запертых и свободных электронов. Нагревание запертых электронов происходит за счет попадания в яму электронов, испытавших неупругий удар, а также за счет передачи энергии от свободных электронов к запертым в межэлектронных столкновениях. Охлаждение запертых электронов связано с диффузионным остыванием при испарении электронов, уносящих энергию, равную энергии глубины ямы, и потерями энергии в упругих ударах. Средняя энергия определяется балансом нагрева и охлаждения.

Представление о наличии двух слабо связанных групп запертых и свободных электронов позволяет найти концентрацию и температуру запертых электронов через концентрацию и среднюю энергию свободных электронов из решения системы уравнений баланса частиц и энергии. Рассчитанная ФРЭ качественно описывает наблюдаемые экспериментальные данные.

При прохождении страт через прианодную область наблюдается характерное искажение функции распределения, связанное со стоком электронов на анод.

## Список литературы

- [1] *Ruzicka T., Rohlena K.* // Czech. J. Phys. 1972. Vol. 22. N 12. P. 906.
- [2] *Цендин Л.Д.* // Физика плазмы. 1982. Т. 8. № 2. С. 400–409.
- [3] *Швейгерт В.А.* // Физика плазмы. 1989. Т. 15. № 10. С. 1230–1237.
- [4] *Бессонова К.Ф., Орешиак О.Н., Остапченко Е.П., Степанов В.А.* // ЖТФ. 1971. Т. 41. Вып. 5. С. 979–984.
- [5] *Каган Ю.М., Колоколов Н.Б., Крылова Т.Н., Миленин В.М.* // ЖТФ. 1971. Т. 41. Вып. 1. С. 120–125.
- [6] *Голубовский Ю.Б., Нусимов С.У.* // ЖТФ. 1996. Т. 66. Вып. 7. С. 20–31.
- [7] *Голубовский Ю.Б., Некучаев В.О., Пономарев Н.С., Порохова И.А.* // ЖТФ. 1997. Т. 67. Вып. 9. С. 14–21.
- [8] *Белов В.Г., Иванов В.А., Мусаева Н.В.* // Тез. докл. VIII Всесоюз. конф. по физике низкотемпер. плазмы. Минск, 1991. Ч. 1. С. 80–81.
- [9] *Kolobov V.I., Tsendin L.D.* // Phys. Rev. A. 1992. Vol. 46. N 12. P. 7837–7852.
- [10] *Schweigert V.A., Schweigert I.V.* // Fiz. Plasmy. 1988. Vol. 14. P. 347.
- [11] *Голубовский Ю.Б., Нусимов С.У., Порохова И.А.* // ЖТФ. 1997. Т. 67. Вып. 2. С. 24–30.
- [12] *Голубовский Ю.Б., аль-Хават Ш.Х., Цендин Л.Д.* // ЖТФ. 1987. Т. 57. Вып. 7. С. 1285–1291.
- [13] *Цендин Л.Д.* // ЖТФ. 1986. Т. 56. Вып. 2. С. 278–288.
- [14] *Голубовский Ю.Б., аль-Хават Ш.Х.* // ЖТФ. 1987. Т. 57. Вып. 1. С. 44–49.